

• 医药生物技术 •

基于 LINCS-L1000 扰动信号通过 SAE-XGBoost 算法预测药物诱导下的细胞活性

陆家兴¹, 陈明¹, 秦玉芳¹, 于晓庆²

1 上海海洋大学 信息学院, 上海 201306

2 上海应用技术大学 理学院, 上海 201418

陆家兴, 陈明, 秦玉芳, 等. 基于 LINCS-L1000 扰动信号通过 SAE-XGBoost 算法预测药物诱导下的细胞活性. 生物工程学报, 2021, 37(4): 1346-1359.

Lu JX, Chen M, Qin YF, et al. Prediction of drug-induced cell viability by SAE-XGBoost algorithm based on LINCS-L1000 perturbation signal. Chin J Biotech, 2021, 37(4): 1346-1359.

摘要: 不同细胞在特定化合物作用下具有不同的扰动信号, 基于这些扰动信号预测细胞的活性和挖掘隐藏在表型之下的药物敏感性非常重要。文中开发了一种基于 LINCS-L1000 扰动信号的 SAE-XGBoost 细胞活性预测算法。通过对 LINCS-L1000、Achilles 和 CTRP 三大数据集匹配和筛选, 采用堆栈式深度自动编码器对基因信息进行特征提取, 结合 RW-XGBoost 算法预测药物诱导下的细胞活性, 进而在 NCI60 和 CCLE 数据集上完成药物敏感性推断。与其他方法相比, 该模型取得了良好效果, 皮尔逊相关系数为 0.85, 并进行独立集验证, 对应皮尔逊相关系数为 0.68。结果表明, 所提出的方法有助于发现新型有效的抗癌药物, 为精准医疗提供帮助。

关键词: 扰动信号, 细胞活性, 药物敏感性, 堆栈式深度自动编码器, RW-XGBoost

Prediction of drug-induced cell viability by SAE-XGBoost algorithm based on LINCS-L1000 perturbation signal

Jiaxing Lu¹, Ming Chen¹, Yufang Qin¹, and Xiaoqing Yu²

1 College of Information Technology, Shanghai Ocean University, Shanghai 201306, China

2 School of Sciences, Shanghai Institute of Technology, Shanghai 201418, China

Abstract: Different cell lines have different perturbation signals in response to specific compounds, and it is important to predict cell viability based on these perturbation signals and to uncover the drug sensitivity hidden underneath the phenotype.

Received: July 23, 2020; **Accepted:** November 23, 2020

Supported by: Shanghai Science and Technology Innovation Plan Project (No. 20dz1203800), National Natural Science Foundation of China (Nos. 61702325, 11701379), National Key Research and Development Program of China (No. 2018YFD0701003), Shanghai Science and Technology Innovation Action Plan, China (No. 16391902900).

Corresponding authors: Ming Chen. Tel: +86-21-61900296; Fax: +86-21-61900000; E-mail: mchen@shou.edu.cn
Xiaoqing Yu. Tel: +86-21-60873530; E-mail: xqyu@sit.edu.cn

上海市科技创新计划 (No. 20dz1203800), 国家自然科学基金 (Nos. 61702325, 11701379), 国家重点研发计划 (No. 2018YFD0701003), 上海市科技创新行动计划 (No. 16391902900) 资助。

网络出版时间: 2021-01-05

网络出版地址: <https://kns.cnki.net/kcms/detail/11.1998.Q.20210104.1329.008.html>

We developed an SAE-XGBoost cell viability prediction algorithm based on the LINCS-L1000 perturbation signal. By matching and screening three major dataset, LINCS-L1000, CTRP and Achilles, a stacked autoencoder deep neural network was used to extract the gene information. These information were combined with the RW-XGBoost algorithm to predict the cell viability under drug induction, and then to complete drug sensitivity inference on the NCI60 and CCLE datasets. The model achieved good results compared to other methods with a Pearson correlation coefficient of 0.85. It was further validated on an independent dataset, corresponding to a Pearson correlation coefficient of 0.68. The results indicate that the proposed method can help discover novel and effective anti-cancer drugs for precision medicine.

Keywords: perturbation signals, cell viability, drug sensitivity, stacked autoencoder deep neural network, RW-XGBoost algorithm

近年来,细胞凋亡与肿瘤的关系成为精准医疗研究的热点之一^[1],有研究证明,细胞凋亡功能的抑制将导致肿瘤的发生及免疫功能的异常,肿瘤细胞凋亡抑制因子活性的增强,能够抵御细胞凋亡信号通路的激活,其比例变化和异常增殖行为通常与化合物的浓度、时间相关,是肿瘤细胞发生和发展的关键因素之一^[2]。由于药物作用的个体差异性^[3],对于大多数刚进入临床试验阶段的化合物来说仍然缺乏最佳的应用治疗方案^[4],随着大规模药物诱导下的基因组数据被得以公开,应用机器学习方法从分子水平上构建细胞活性预测模型,分析潜在的化学治疗反应,为临床治疗设计最佳策略,依然是目前面临的挑战^[5]。

由于细胞扰动信号与细胞生存能力紧密相关,在药物敏感性和抗癌药物反应预测的研究中,通过从不同高覆盖分子数据预测细胞表型,采用化合物控制细胞凋亡通路中的关键蛋白或酶类的表达或功能,来诱导异常细胞凋亡。一种常见的方法是考虑使用实验测量的核糖核酸 (Ribonucleic acid, RNA) 表达、蛋白质表达、甲基化、单核苷酸多态性 (Single nucleotide polymorphisms, SNP) 等基因组特征和对不同药物与细胞系之间的反应作为训练集,并针对每种单独药物设计一个或多个监督预测模型。例如, Gönen 和 Margolin^[6]在训练时采用药物关联方法,依赖于内核的降维和多任务学习的贝叶斯 (Kernelized bayesian multitask learning, KBMTL) 方法表现出显著的药物反应预测性能,使其备受青睐。同样, Menden 等^[7]根据每种细胞的基因组背景,训练了一个神经网络模

型,预测其在整个细胞系中的 IC₅₀ 分布,发现癌细胞对药物分子的敏感性是由细胞和药物的特征共同驱动的。在 DREAM 细胞毒性反应预测挑战赛中,针对 884 种淋巴细胞系中 156 个化合物的细胞毒性,随机森林模型以整体性能最佳在两个子任务中均获优胜^[8]。Goswami 等^[9]针对药物反应基因表达测量的最佳药物暴露时间和核心基因集选择,使用新颖的药物相互作用评分算法,预测药物对弥漫性大 B 细胞淋巴瘤 (Diffuse large B cell lymphoma, DLBCL) 癌细胞的相互作用。Tan 等^[10]通过将相似的细胞系和药物分组,对数据子集训练大量模型,通过整合多个数据库提取细胞系敏感性和药物活性特征,采用模型堆叠概括的方法,结果令人鼓舞。在最近的研究中, Szalai 等^[11]使用线性回归方法预测差异表达信号对药物敏感性的影响,发现药物引起的细胞凋亡与剂量和时间有关,但其由于只提取了差异表达基因与细胞活性之间的线性特征,在预测过程中存在预测精度较低和拟合较差的问题。

在这项研究中,我们使用差异表达基因与细胞表型信息,通过机器学习算法,预测药物诱导下的细胞活性。通过对扰动转录组学信号 LINCS-L1000、癌症治疗反应门户 (Cancer treatment response portal, CTRP) 和癌症依赖性图谱 Achilles 三大数据集的筛选与匹配,划分为 9 个数据子集。其次,提出基于堆栈式深度自动编码器 (Stacked autoencoder, SAE) 算法进行关键基因提取,有效提取差异表达基因与细胞活性之间的非线性特征,使用极端梯度提升 (Extreme

gradient boosting, XGBoost) 算法对细胞活性进行预测, 分析在药物毒性和基因沉默作用下的细胞凋亡反应, 同时将随机游走 (Random walk, RW) 算法引入 XGBoost 学习算法中, 解决了繁琐的调参问题。为了衡量我们方法的可行性, 完成了在不同扰动时间下的化合物与 shRNA 之间的跨数据集验证, 最后在癌细胞系百科全书 (Cancer cell line encyclopedia, CCLE) 和 NCI60 上进行了药物敏感性推断。

1 材料与方法

1.1 数据集获取

扰动转录组学信号, 包括 LINCS-L1000-Phase I 和 LINCS-L1000-Phase II 扰动谱数据, 选自 LINCS-L1000 数据集, 可从 GEO 数据库 (<https://www.ncbi.nlm.nih.gov/geo/>) 下载获得, 对应的基因芯片识别号分别为 GSE92742 和 GSE70138。L1000 技术的首次大规模应用使得运用 LINCS 大数据作为参考库进行化合物分析成为可能, 我们选择 LINCS 项目中 Level5 水平对应的差异表达信号所含有的 978 个标记基因组成训练数据集^[12-13]。癌症治疗反应门户 CTRP 涵盖了 70 000 个癌细胞系化合物敏感性和遗传或谱系特征之间的联系, 我们选用后验控制质量的细胞活性数值作为建模的目标, 可从 <https://ocg.cancer.gov/programs/ctd2/data-portal> 下载获得^[14]。为了探究单基因敲降或敲除对癌细胞增殖的影响并预测癌症依赖性, 我们从癌症依赖性图谱数据库 Achilles (<https://portals.broadinstitute.org/achilles>) 下载数据, 选用 shRNA 治疗前后的效应改变量大小用于模型分析^[15]。NCI60 数据集可从 https://dtp.cancer.gov/discovery_development/nci-60 下载, 包括细胞系在不同药物作用下的 GI₅₀、LC₅₀ 和 TGI 等药物敏感性值, 选用 GI₅₀ 值作为药物敏感性的评价标准^[16]。CCLE 数据集可从 <https://portals.broadinstitute.org/ccle> 下载, 包括不同细胞系在

24 种药物的 8 个浓度点上的 EC₅₀、IC₅₀ 和药物活性面积, 选用药物活性面积作为药物敏感性的评价标准^[17]。

1.2 数据集预处理

由于 LINCS-L1000 中具有大量的扰动转录组学信号, 而 CTRP 数据集中包含药物诱导下的细胞活性数据, Achilles 数据集中包含 shRNA 治疗前后的效应改变量数据, 这 3 个数据集有大量数据是重叠的, 在最新的研究中也有类似的方法, 将 LINCS-L1000 数据集中的扰动转录组学信号分别与 CTRP 数据集中的细胞生存能力数据和 Achilles 的 shRNA 丰度数据进行关联。因此, 在本研究中, 我们将 GEO 数据库中获取的两阶段 LINCS-L1000 扰动谱数据进行合并, 获得多种扰动状态下全基因组的基因表达情况, 为了进一步研究基于化合物扰动下不同细胞系的细胞活性, 将 CTRP 中药物治疗后的细胞活性数据作为关联, 同时基于相同的细胞系和 Broad 研究所提供的药物识别号进行了数据实例的匹配, 并参照公式 1 匹配浓度相近的若干样本, 针对在不同实验批次下, 相同浓度对应的细胞活性值, 取其细胞活性平均值。

$$D = |\log_{10}(CTRPds) - \log_{10}(LINCSDs)| \leq 0.2 \quad (1)$$

其中, CTRPds 为 CTRP 数据集中癌症治疗药物对应的浓度值, LINCSDs 为 LINCS-L1000 数据集中不同扰动信号对应的浓度值。

为了使研究更深入, 我们尝试使用癌症依赖性图谱数据库 Achilles 中的表型信息, 将训练模型在跨越其他数据集进行独立集测试, 探究在 shRNA 作用下单基因敲降或敲除对癌细胞凋亡或者增殖产生的影响。由于在药物治疗或者 shRNA 治疗后的细胞存活数量与 CTRP 或者 Achilles 中的评价指标成比例, 我们为了简便起见, 将以上两大数据集中的细胞表型信息统称为细胞活性。

数据关联过程包含扰动信号与细胞表型信息

两个部分。(1) 合并 LINCS-L1000-Phase I 与 LINCS-L1000-Phase II 数据，命名为 LINCS-L1000。(2) 将 LINCS-L1000 数据集中的化合物扰动信号与 shRNA 扰动信号，分别与 CTRP、Achilles 数据集按照相关条件进行关联，命名为 CTRP-L1000 数据集与 Achilles-L1000 数据集。(3) 将数据集按照不同的扰动时间划分为 CTRP-L1000-3 h、CTRP-L1000-6 h、CTRP-L1000-24 h 和 Achilles-L1000-96 h、Achilles-L1000-120 h、

Achilles-L1000-144 h数据集。(4) 将CTRP-L1000-3 h、CTRP-L1000-6 h、CTRP-L1000-24 h 按照不含浓度 (S1) 和包含浓度 (S2) 因素划分为 6 个子数据集，以上具体过程如图 1 所示。匹配完成的最终各数据集大小如表 1 所示。

1.3 模型建立

本研究的过程包括：基于扰动转录组学信号 LINCS-L1000 与癌症治疗反应门户 CTRP 数据集完成差异表达基因的提取与细胞活性的预测

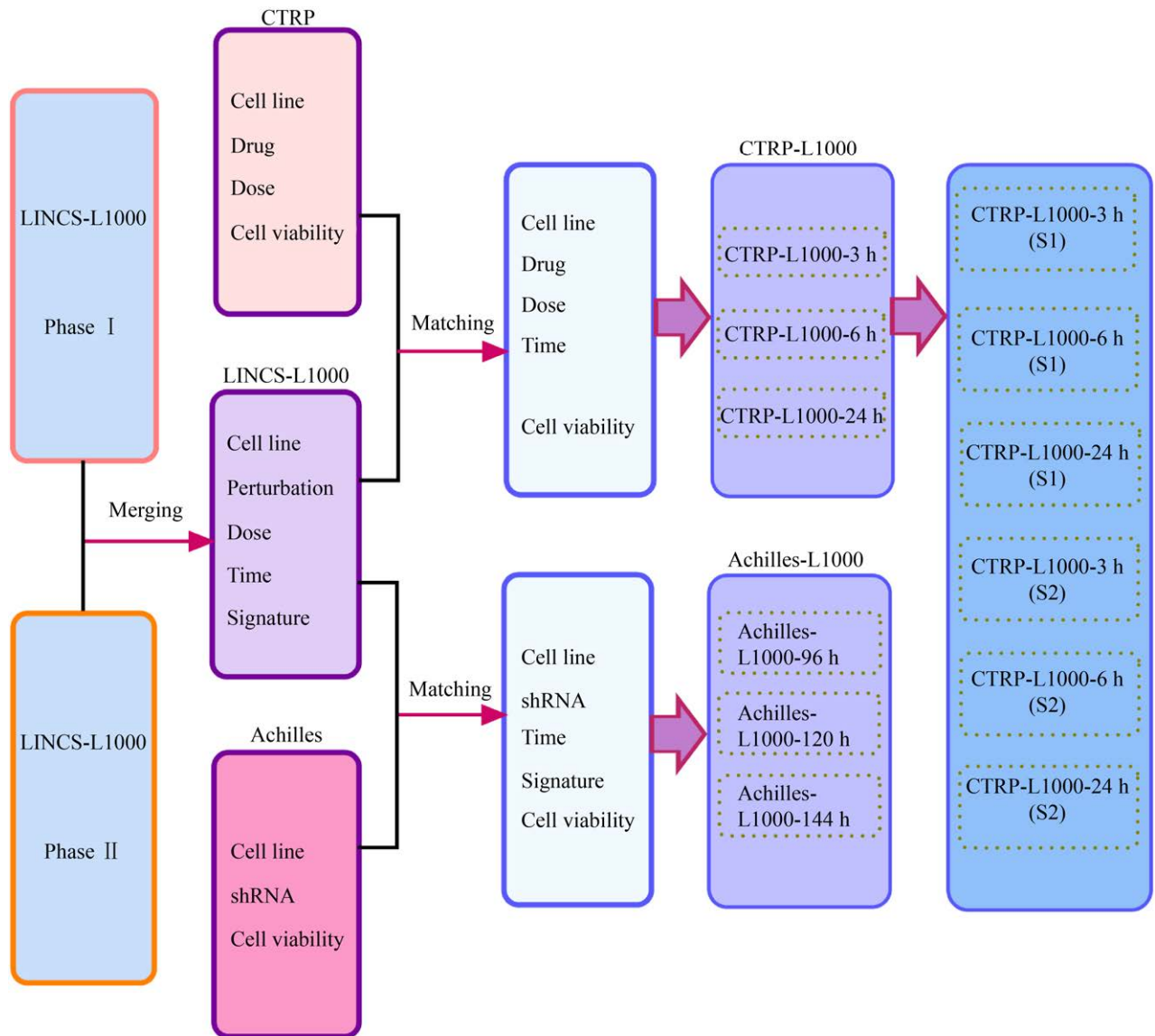


图 1 LINCS-L1000 分别与 CTRP、Achilles 数据关联图

Fig. 1 Data association diagram of LINCS-L1000 with CTRP and Achilles respectively.

表 1 各数据集的详细信息

Table 1 The detailed description of each dataset

Screen name	Data points	Cell line	Compounds	shRNAs
CTRP-L1000-3h (S1)	1 130	5	43	0
CTRP-L1000-6h (S1)	9 099	47	288	0
CTRP-L1000-24h (S1)	13 363	18	327	0
CTRP-L1000-3h (S2)	1 328	5	43	0
CTRP-L1000-6h (S2)	10 063	47	288	0
CTRP-L1000-24h (S2)	15 610	18	327	0
Achilles-L1000-96h	69 941	10	0	11 771
Achilles-L1000-120h	14 563	2	0	12 018
Achilles-L1000-144h	10 484	3	0	4 837

分析, 并进行模型结果的评估; 其次, 在癌症依赖性图谱数据库 Achilles 上进行独立集测试, 获得模型在跨数据集上的性能。(Achilles-L1000 系列模型在跨数据集 CTRP-L1000 上的测试过程, 也亦然), 同时, 根据预测的细胞活性在 CCLE 与 NCI60 数据集上完成药物敏感性预测。

为了客观地验证我们所提出方法的预测性能, 我们进一步将扰动谱与细胞活性数据空间 PertDT 随机划分为 70% 的训练集 PertDT-S 用于模型的学习、15% 的验证集 PertDT-V 用于模型的调参与优化和 15% 的测试集 PertDT-T 用于评估模型在实际使用时的泛化能力。

1.3.1 基于堆栈式深度自动编码器的特征提取

堆栈式自动编码器作为一种深度学习模型, 使用自动编码器作为堆叠模块逐层构建深度神经网络, 以分层和自底向上的方式进行训练^[18]。在首次降维完成后, 将提取低维表达特征用以训练下一个自动编码器, 以获取输入向量的更低维表示, 原始数据通过逐层转换到顶层的方式实现了特征的逐层提取。同时模型使用 Relu 型激活函数获取特征的非线性表达, 通过最小化损失函数 $\Theta(X,Z)$ 进行反向传播完成参数的学习:

$$\Theta(X,Z) = \Theta_r(X,Z) + 0.5\gamma(\|W_1\|_2^2 + \|W_2\|_2^2) \quad (2)$$

其中, $\Theta_r(X,Z)$ 是重构误差, γ 是权重衰减成本。为了使重建误差最小, 我们需要在隐藏层的

特征表示上尽可能多地呈现原始输入。

基于以上过程, 隐藏层最大程度地学习了原始输入的特征信息。在完成无监督的特征训练之后, 整个神经网络可以使用标记的数据来微调训练参数。堆栈式自动编码器最高一级的隐藏层具有提取原始数据信息的功能, 并且可以进一步应用于回归器。在本研究中, 我们建立了堆栈式多层自动编码器, 并将 XGBoost 用作最终的预测器。

1.3.2 基于 XGBoost 和随机游走的细胞活性预测

XGBoost 作为机器学习中竞争力最强的预测算法之一, 对梯度提升算法的集成方式做了一定改进, 在解决分类和回归问题上都具有较高的性能^[19]。我们在采用 XGBoost 算法对细胞活性进行预测时, 根据每个输入样本中的基因差异表达, 在每棵决策树的叶子节点上都能获得一个预测值, 通过多次迭代逐一构建多个弱评估器, 细胞活性预测结果定义为所有树的预测分数之和:

$$\hat{c}v_i = \sum_{k=1}^K f_k(\text{sample}_i[\text{DEGs}]) \quad (3)$$

其中, $f_k(\text{sample}_i[\text{DEGs}])$ 表示第 i 个样本 sample 在提取的差异表达基因 DEGs 上第 k 棵决策树上的预测分数, K 表示决策树的数量。则样本在第 t 次迭代过程中, 模型的预测值 $\hat{c}v_i$ 可表示为:

$$\hat{c}v_i^{(t)} = \hat{c}v_i^{(t-1)} + f_t(\text{sample}_i[\text{DEGs}]) \quad (4)$$

为了解决 XGBoost 算法中繁琐的参数选择问题, 我们引入随机游走来解决复杂的全局最优化问题, 该方法不仅操作简单, 而且不易陷入局部极值^[20]。首先将细胞活性的真实值与预测值的皮尔逊相关系数作为随机游走算法的优化目标, 在优化初始阶段, 设定初始迭代点为 XGBoost 算法中需要优化的若干参数, 以此构成八维初始变量。同时设定优化算法的初始行走步长 λ 、迭代次数 N 、属性步长 sm 和输出精度 acc , 在迭代次数允许的范围内, 随机产生 $(-1, 1)$ 内的随机向量 rnd 并对其进行单位化, 得到在当前步长设定条件下的新的位置变量:

$$pos_{new} = pos + \lambda \frac{rnd}{(\sum_{i=1}^n rnd_i^2)^{1/2}} sm \quad (5)$$

计算此时模型的皮尔逊相关系数，并与历史最优解进行比较，若其得到了更优解，则更新此时的最佳状态为当前状态，进行下一步的随机游走。当优化算法到达最大迭代次数后，若依旧没有找到更优解，则认为此时算法最优解就在当前解附近，减半步长，进行新一轮随机游走，直至获得符合精度要求的解。

1.4 模型评估

为了有效地量化不同模型对药物诱导下的细胞活性的预测能力，模型的评价函数选用皮尔逊相关系数 (Pearson correlation coefficient)、决定系数 (Coefficient of determination) 和均方误差 (Mean squared error)。皮尔逊相关系数的取值范围为[-1,1]，绝对值越大，说明真实值与预测值相关性越强； R^2 用于评估真实值与预测值之间的拟合优度，取值越接近于 1，说明拟合程度越高；MSE 用于衡量预测值与真实值之间的偏差，其值越小，说明模型具有更好的精确度。其计算公式分别为：

$$\rho_{Y,\hat{Y}} = \frac{Cov(Y,\hat{Y})}{\delta_Y \delta_{\hat{Y}}} = \frac{E[(Y - \mu_Y)(\hat{Y} - \mu_{\hat{Y}})]}{\delta_Y \delta_{\hat{Y}}} \quad (6)$$

$$MSE = \frac{1}{N} \sum_{i=1}^N (Y_i - \hat{Y}_i)^2 \quad (7)$$

$$R^2 = 1 - \frac{\sum_{i=1}^N (Y_i - \hat{Y}_i)^2}{\sum_{i=1}^N (Y_i - \bar{Y})^2} \quad (8)$$

其中， $Cov(Y,\hat{Y})$ 为细胞活性真实值 Y 与预测值 \hat{Y} 之间的协方差， δ_Y 和 $\delta_{\hat{Y}}$ 为其对应的标准差， N 为样本总数， Y_i 与 \hat{Y}_i 分别为第 i 个样本的真实值与预测值。

为了评估模型在药物敏感性的预测效果，我们将模型的细胞活性值与药物敏感性相关联。在 CTRP-L1000 数据集中设定细胞活性小于 0.8 (认为具有毒性) 的药物为有效药物，在 Achilles-L1000

数据集中设定细胞活性小于-2 (认为具有毒性) 的药物为有效药物，反之则视为无效药物。我们选择 ROC 曲线与 PR 曲线来评价算法的预测性能，并使用混淆矩阵对结果进行度量，计算其对应的查准率和查全率：

$$Precision = \frac{TP}{TP + FP} \quad (9)$$

$$Recall = \frac{TP}{TP + FN} \quad (10)$$

其中， TP 表示分类正确的有效药物实例， FP 表示分类错误的无效药物实例， FN 表示分类错误的有效药物实例， TN 表示分类正确的无效药物实例。由于查准率和查全率是一对矛盾的度量，在查准率高时，查全率往往偏低。

2 结果与分析

2.1 对特征提取的分析

在使用堆叠式自动编码器对差异表达基因进行特征提取时，由于网络参数的设置会对训练过程中的堆栈式自动编码器产生一定影响，为了获得较优的准确率，分别设置网络输入层节点数为 978，权重衰减成本为 0.002，Dropout 率为 0.2，学习率为 0.001，网络层数、各层的节点数以及最后一层用于特征提取的神经元数量因不同数据集而异。以 LINC-S-L1000-CTRP-24 h 数据集为例，本研究所使用的算法与现有的其他方法，主成分分析 (Principal component analysis, PCA)、局部线性嵌入 (Locally linear embedding, LLE)、核主成分分析 (Kernel principal component analysis, KPCA) 和独立成分分析 (Independent component analysis, ICA) 进行比较分析，皮尔逊 (Pearson) 相关系数均优于其他算法，如图 2A 所示。我们还分别使用不同的学习率在 LINC-S-L1000-CTRP-24 h 数据集上进行特征提取，当堆栈自编码器学习率较低时，更有利于模型的学习，如图 2B 所示。而在图 2C-D 中，通过多次实验，与传统的堆栈式自动编码器对比分析，发现 SAE-XGBoost 算法拥有较低均方误差，结果相对更稳定。

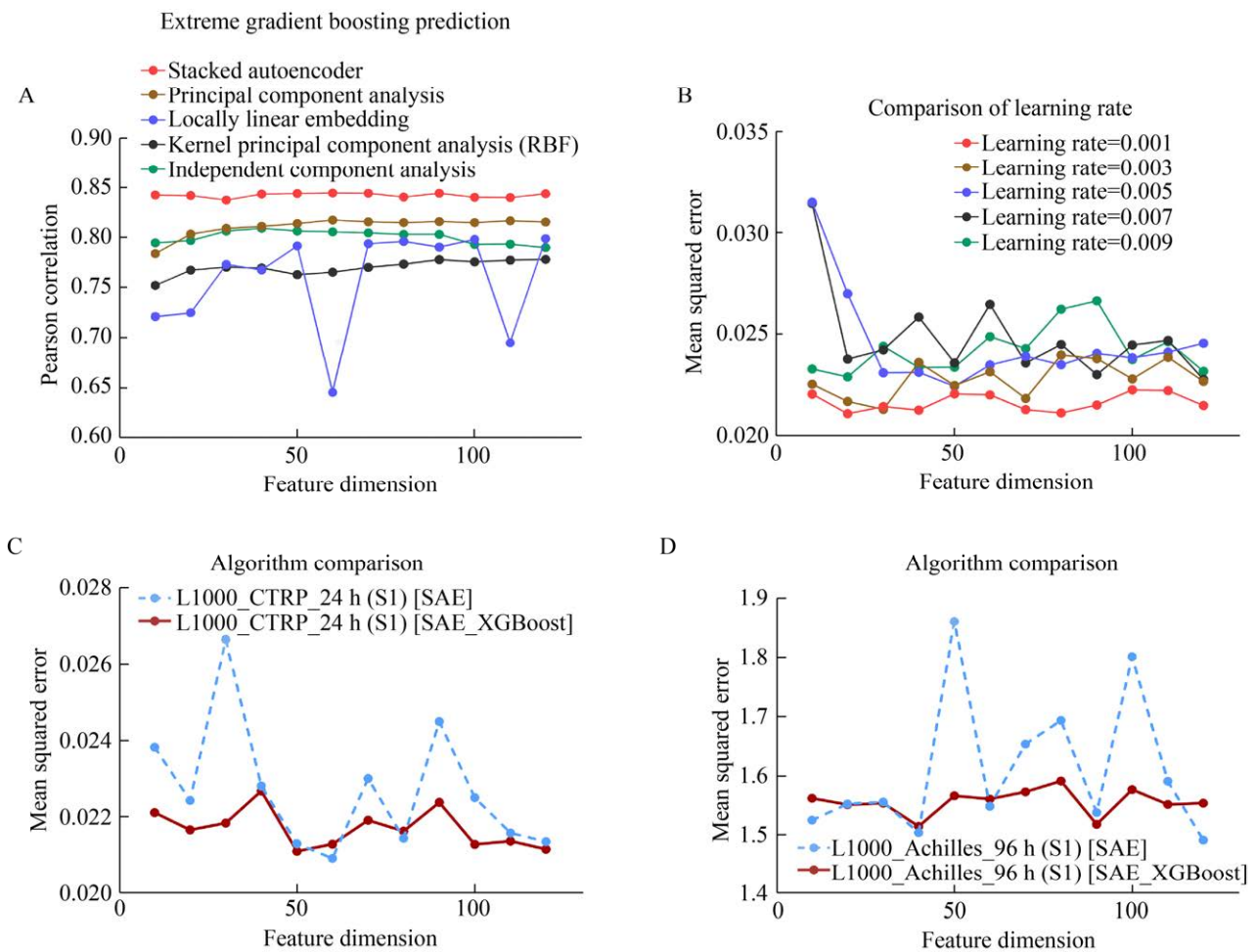


图2 特征提取算法的对比与分析

Fig. 2 Comparison and analysis of feature extraction algorithms.

2.2 药物诱导下的细胞活性预测分析

结合随机游走算法对 XGBoost 各项参数组合进行更新与调优, 在 CTRP-L1000 与 Achilles-L1000 系列模型的优化过程中, 设定初始行走步长为 0.5, 迭代次数为 10 次, 输出精度为 0.000 01, 变量数目为 8 个, 同时分别设定各自的属性步长。以真实值与预测值之间的皮尔逊相关系数为模型评价指标, 并使用其作为模型的优化目标, 随机游走算法根据预先设定的初始点坐标和初始行走步长开始随机游走, 当迭代到满足预置的精度要求时, 以较大概率找到最优解或者近似最优解, 该算法对 XGBoost 模型进行参数优化实验的结果展示如表 2 所示。

表2 随机游走算法在 XGBoost 算法中的迭代结果

Table 2 Iterative results of random walk in XGBoost

The screen used	Pearson correlation	R^2	Mean squared error
CTRP-L1000-3 h (S2)	0.849 0	0.702 5	0.020 4
CTRP-L1000-6 h (S2)	0.703 6	0.485 3	0.051 6
CTRP-L1000-24 h (S2)	0.892 6	0.794 5	0.016 9
CTRP-L1000-3 h (S1)	0.773 4	0.594 4	0.027 7
CTRP-L1000-6 h (S1)	0.635 4	0.387 6	0.063 6
CTRP-L1000-24 h (S1)	0.846 0	0.710 8	0.023 8
Achilles-L1000-96 h	0.599 5	0.339 6	1.493 1
Achilles-L1000-120 h	0.487 5	0.185 9	1.568 6
Achilles-L1000-144 h	0.511 0	0.212 8	1.438 2

从以下实验结果可以明显看出，CTRP 的细胞活性的测量需要较长的扰动时间，随着扰动时间的增长，预测的可靠性也在不断上升，其中 24 h 扰动时间预测结果较为可靠；而在 CTRP 数据集预测中，当考虑浓度因素时，模型的准确性有所提高，可知细胞活性在一定程度上与药物浓度相关。在 LINC-S-L1000 扰动谱与癌症依赖性图谱数据库 Achilles 项目中，以 96 h 的扰动时间所产生的模型预测效果最为显著。

2.3 CTRP-L1000 与 Achilles-L1000 独立数据集检验

为了验证模型预测的可靠性，我们采用独立数据集来验证模型的预测能力，实现了在 CTRP-L1000 系列模型与 Achilles-L1000 系列模型中进行交互性测试，结果如图 3 所示。在 CTRP-L1000

数据集中，以 24 h 扰动时间的模型最佳，Pearson 相关系数为 0.846 0，优于 3 h 与 6 h 的扰动时间，Achilles-L1000 数据集中，以 96 h 的扰动时间模型最佳，Pearson 相关系数为 0.599 5，优于 120 h 与 144 h 的扰动时间模型。同样在独立集验证方面，CTRP-L1000-24 h 数据集在 CTRP-L1000-6 h 模型、CTRP-L1000-24 h 模型和 Achilles-L1000-96 h 模型中，Pearson 相关系数分别为 0.744 8、0.846 0 和 0.682 9 均优于其他模型，进一步证实了药物在较长的扰动时间后能够取得优良的预测性能。

2.4 基于细胞活性在 NCI60 和 CCLE 数据集上预测药物敏感性

通过分析药物诱导下的细胞活性，我们可进一步在 NCI60 和 CCLE 上完成药物的敏感性预

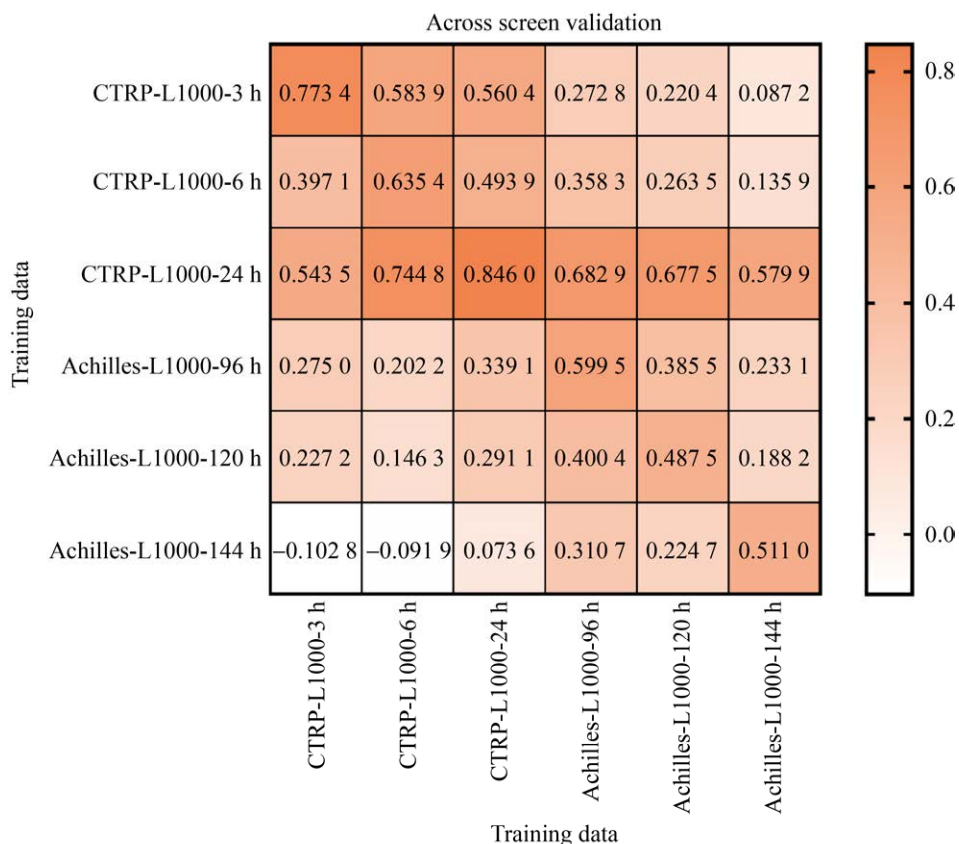


图 3 独立数据集验证

Fig. 3 Independent dataset validation: using the Achilles-L1000 series model to predict cell viability in CTRP-L1000 data and vice versa.

测。针对 NCI60 数据,我们以改进的 GI_{50} 值 (50% 的癌细胞生长得到抑制或控制时所需的药物浓度) 作为衡量药物敏感性的依据。具体地,当 GI_{50} 值在最大药物浓度测试范围内,且作用于细胞系有效时,记录此时的 GI_{50} 值为药物敏感性值;反之,若在最大测试浓度测试范围内,该药物无效,则将最大测试浓度作为药物敏感性值。

我们将模型预测的细胞活性值与药物敏感性相关联,根据模型预测的细胞活性在 NCI60 数据集上进行药物敏感性预测。将 GI_{50} 值作为药物敏感性评价指标,进行二值化处理,得到有效药物 (正例) 和无效药物 (反例),同时在模型预测的细胞活性上使用设定的决策阈值判定药物的有效性。我们通过 ROC 曲线与 PR 曲线来衡量算法在评判药物有效性方面所作的贡献。在如图 4A 所示的 ROC 曲线中, Achilles-L1000-96 h 模型所作的预测最为准确, AUC 面积达到 0.78, 其 95% 置信区间范围为 (0.76, 0.81), 且显著性水平小于 0.000 1, 其余两个模型均表现出不错的性能, 其中 CTRP-L1000-24 h 和 CTRP-L1000-6 h 模型在 ROC 曲线下的 AUC 面积均达到了 0.70, 其 95% 置信区间范围都为 (0.67, 0.73)。在如图 4B 所示的准确率-召回率评估曲线中, Achilles-L1000-96 h 模型仍以曲线下的面积 $AUC=0.94$ 超越其他模型, Achilles-L1000-96 h 模型和 CTRP-L1000-24 h

模型预测的细胞活性在指定分类阈值下,混淆矩阵如图 5 所示。通过以上分析,进一步证实了 Achilles-L1000-96 h 模型在 LINCS-L1000-NCI60-24 h 数据集上预测药物敏感性是有效的,可用于后续其他药物的有效性检测。

除此以外,我们还将 LINCS-L1000、CTRP 和 NCI60 数据再次进行关联,采用 ROC 曲线与 PR 曲线对结果进行讨论与分析。如图 6 所示,在 Achilles-L1000-96 h、CTRP-L1000-24 h 和 CTRP-L1000-6 h 模型中,ROC 曲线下面积 AUC 值分别为 0.79、0.77 和 0.64, 95% 置信区间分别为 (0.72, 0.86)、(0.70, 0.84) 和 (0.56, 0.72), PR 曲线下面积 AUC 值分别为 0.98、0.97 和 0.96。Achilles-L1000-96 h 和 CTRP-L1000-24 h 模型预测的细胞活性在指定分类阈值下,混淆矩阵如图 7 所示。以上结果表明 Achilles-L1000-96 h 与 CTRP-L1000-24 h 模型具有卓越的预测性能。

图 6 中的 CTRP-L1000-AUC 为 CTRP-L1000 数据集中,药物浓度-时间曲线所围面积 AUC 的取值,用以比较真实值 CTRP-L1000-AUC 与模型所预测的细胞活性在推断药物敏感性上是否存在显著差异。依据 Achilles-L1000-96 h 模型预测的细胞活性值推断药物的有效性方法,与使用真实 CTRP-L1000-AUC 值推断药物的有效性方法进行对比分析,可以发现两种方法在 ROC 曲线上所

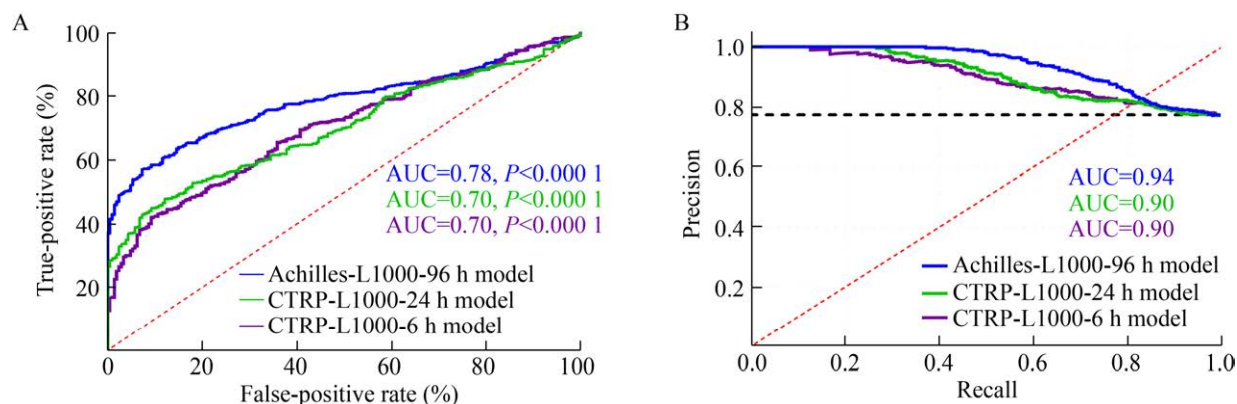


图 4 模型在 LINCS-L1000-NCI60-24 h 上验证的 ROC 曲线 (A) 与 PR 曲线 (B)

Fig. 4 ROC curve (A) and PR curve (B) of the model evaluation on LINCS-L1000-NCI60-24 h dataset.

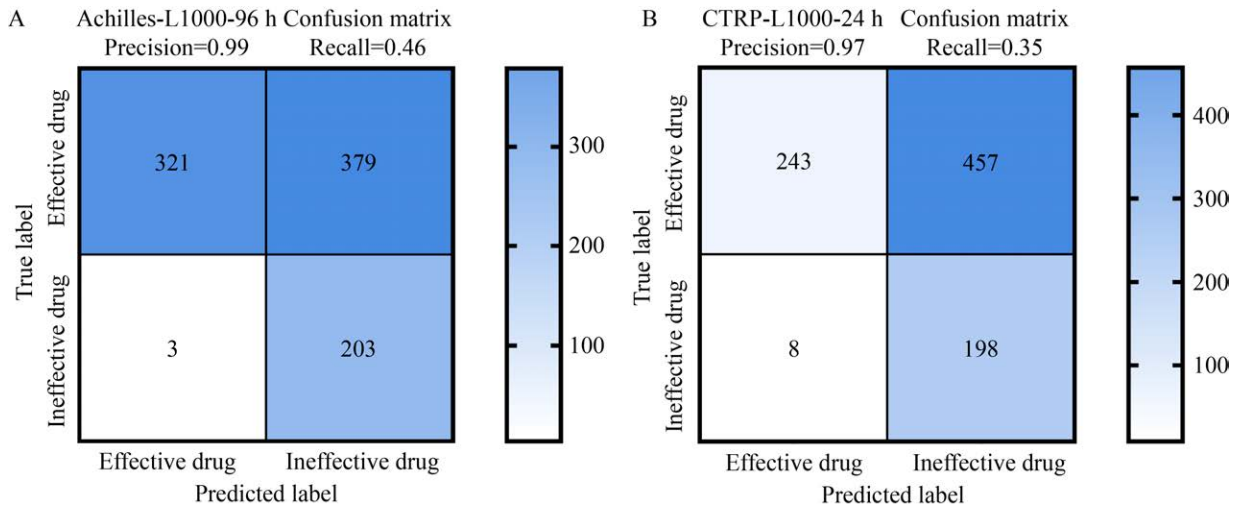


图 5 模型 Achilles-L1000-96 h (A) 与模型 CTRP-L1000-24 h (B) 在 LINC5-L1000-NCI60-24 h 上的混淆矩阵
Fig. 5 ROC curve (A) and PR curve (B) of the model evaluation on LINC5-L1000-NCI60-24 h dataset.

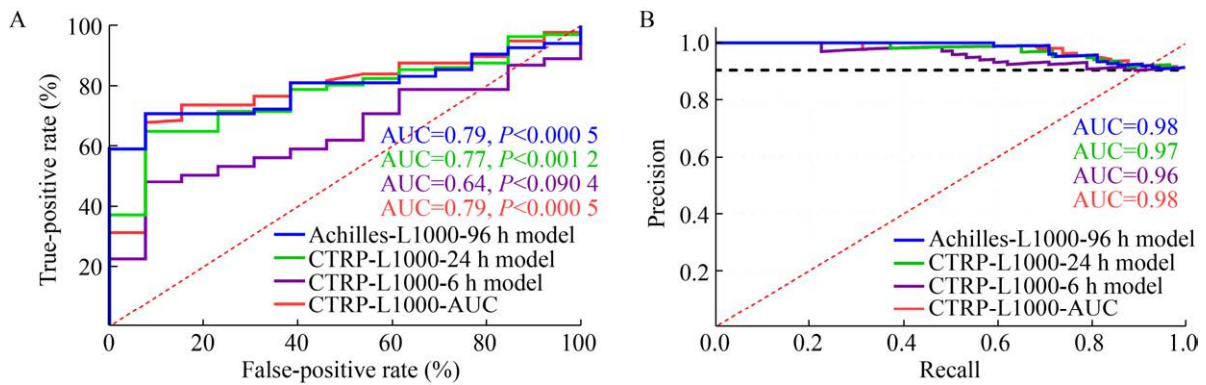


图 6 模型在 LINC5-L1000-CTRPNCI60-24 h 上验证的 ROC 曲线 (A) 与 PR 曲线 (B)
Fig. 6 ROC curve (A) and PR curve (B) of the model evaluation on LINC5-L1000-CTRPNCI60-24 h dataset.

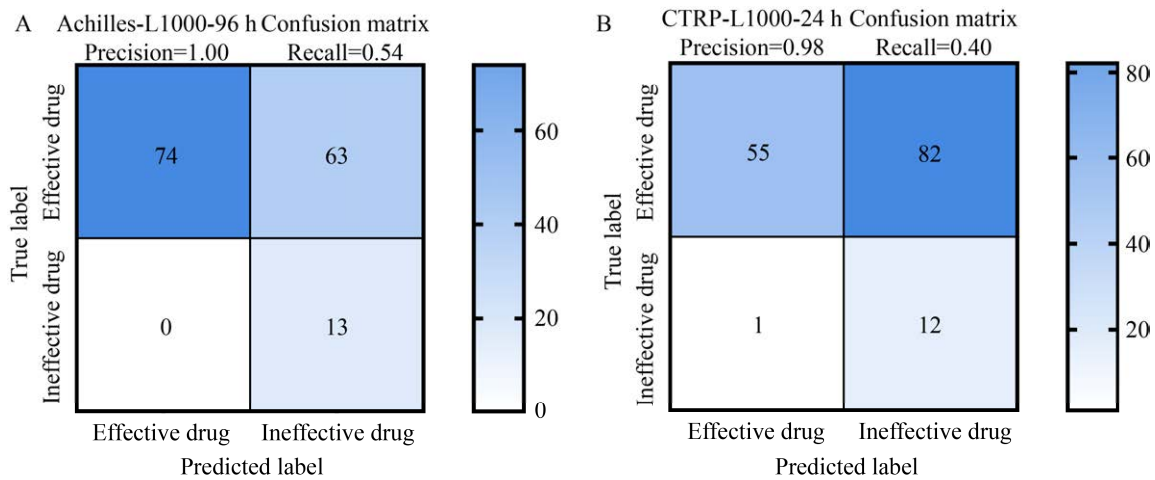


图 7 模型 Achilles-L1000-96 h (A) 与模型 CTRP-L1000-24 h (B) 在 LINC5-L1000-CTRPNCI60-24 h 上的混淆矩阵
Fig. 7 ROC curve (A) and PR curve (B) of the model evaluation on LINC5-L1000-NCI60-24 h dataset.

围面积 AUC 的显著性差异水平为 0.958 3, 该值大于 0.05, 表示使用这两种方法在推断药物有效性方面不存在显著差异。而在使用 CTRP-L1000-AUC 值推断药物有效性方法中, ROC 曲线下的面积 AUC 值为 0.79, 其 95% 置信区间为 (0.72, 0.85), 显著性水平小于 0.000 1, PR 曲线下的面积 AUC 值为 0.98。

在此, 我们已经完成了通过细胞活性预测值对药物有效性的推断, 为了进一步检验有效药物与无效药物的细胞活性值之间是否存在显著差异, 采用正态性检验方式, 由于检验结果存在一定的偏态, 使用非参数类 Mann Whitney test 检验方法对细胞活性预测结果进行分析 (图 8)。不同的模型分别在 LINCS-L1000-NCI60-24 h 与 LINCS-L1000-CTRP-NCI60-24 h 数据集上进行预测, 结果发现使用 Achilles-L1000-96 h 模型在区分有效药物与无效药物之间在均值上存在显著差异, 显著性水平分别为 $P < 0.000 1$ 和 $P = 0.000 3$; 同样地, 在使用 CTRP-L1000-24 h 模型在推断药物有效性上也得到了类似的结果, 显著性水平分别为 $P < 0.000 1$ 和 $P = 0.000 8$ 。

在癌细胞系百科全书 CCLE 上, 采用活性面积作为药物敏感性的评价指标。对此, 将 CCLE 中的活性面积进行零均值标准化处理, 高于均值 0.8 个方差的活性面积定义为有效药物, 反之定义为无效药物, 完成二值化处理。其次在 LINCS-L1000 扰动谱数据集中寻找共有细胞系和药物组合对, 由于在 CCLE 数据集中只存在少量的 24 种药物, 借助 PubChem 数据库寻找同义药物, 匹配完成后的数据记为 LINCS-L1000-CCLE, 同样我们还筛选了扰动时间为 24 h 对应的药物, 且当存在多个药物扰动信号时, 选取细胞活性最低值。在实验结果的评价中, 使用 ROC 曲线与 PR 曲线来对算法的结果进行衡量, 发现 Achilles-L1000-96 h 模型不仅在跨数据集验证上表现出了卓越的性能, 且在 ROC 曲线下的面积 AUC 值为 0.79, 95% 置信区间范围为 (0.67, 0.88), PR 曲线下所围面积 AUC 为 0.78。

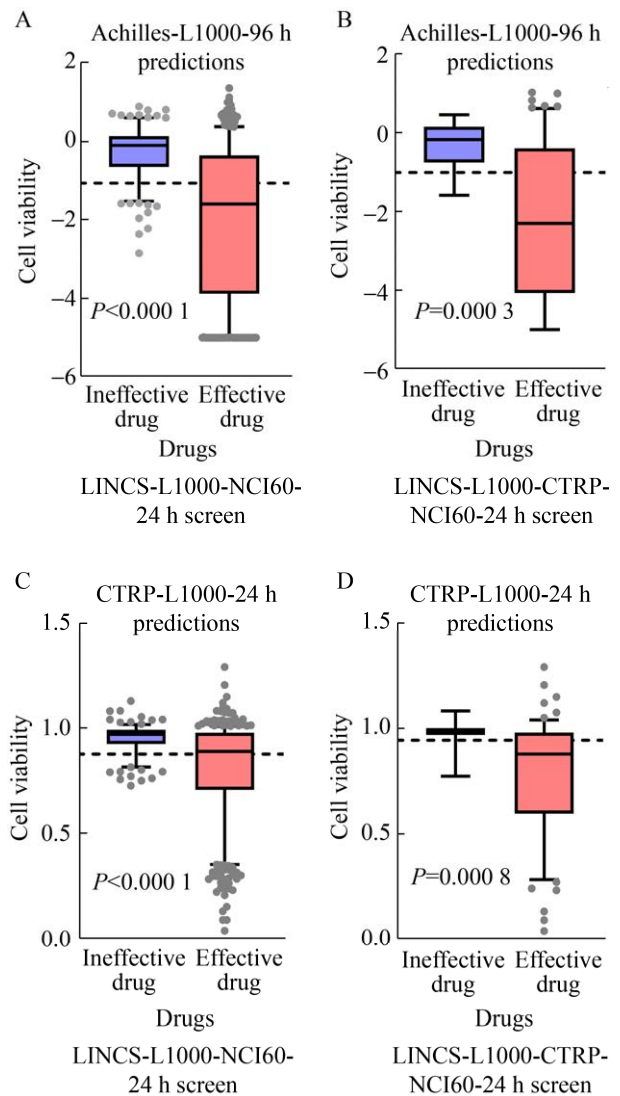


图 8 有效药物组与无效药物组的比较

Fig. 8 Comparison of the effective and the ineffective drug group.

3 讨论

为了评估本文算法的有效性, 我们将本研究算法与其他现有方法进行分析比较, 分别使用预测值与真实值的 Pearson 相关系数、决定系数 R^2 和均方误差进行衡量模型的预测性能, 如表 3 所示。以 CTRP-L1000-24 h (S1) 数据集为例, Pearson 最大相关系数达到了 0.846 0、 R^2 最大决定系数达到了 0.710 8、最小的均方误差为 0.023 8,

表 3 本文算法与其他算法的比较

Table 3 Comparison of the algorithm in this paper with other algorithms. Taking the CTRP-L1000-24 h (S1) dataset as an example

The algorithm used	Pearson correlation	R^2	Mean squared error
Our model	0.846 0	0.710 8	0.023 8
PCA-Lasso	0.776 0	0.601 7	0.032 8
KPCA-RF	0.769 0	0.584 3	0.034 3
LLE-SVR	0.683 4	0.449 9	0.045 3
LLE-KNN	0.734 6	0.536 4	0.038 2

均优于其他算法。具体而言，相比于 PCA-Lasso、KPCA-RF、LLE-SVR 和 LLE-KNN 算法，本研究算法在 Pearson 相关系数方面，分别提高了 9.02%、10.01%、23.79% 和 15.16%；在 R^2 方面，分别提高了 18.13%、21.65%、57.99% 和 32.51%；在均方误差方面，分别下降了 27.44%、30.61%、47.46% 和 37.70%。实验结果表明，本研究算法的预测结果得到了进一步的提升。

除了通过预测模型推断出细胞活性的有效性和可靠性，我们还需将我们的结果与有关细胞活性的文献联系起来进行对比。药物 Vorinostat 是一种组蛋白脱乙酰化酶 (HDAC) 抑制剂，其主要通过转化诱导使细胞的生长停滞，通过观察使用药物 Vorinostat 在不同细胞系中进行治疗的细胞活性最低值，可以看出 Vorinostat 在治疗 A549、A375、VCAP、PC3、HA1E、HUES3 和 NPC 等细胞系上具有显著效果，文献[21]首次全面鉴定了 A549 细胞中用于该药治疗的组蛋白赖氨酸乙酰化，阐述了 Vorinostat 对非小细胞肺癌 A549 具有临床应用价值 (细胞活性: -4.9)，文献[22]报道了 Vorinostat 可恢复源自 NPC 患者的成纤维细胞中的胆固醇稳态，以达到最终治疗的目的 (细胞活性: -5.0)。使用药物 Bardoxolone-methyl 治疗 MCF7 细胞系在柱状图中显示出较高的毒性值，据文献[23]报道，该药物具有抗增殖、抗炎和抗纤维化的作用，可抑制 MCF7 细胞中的迁移和代谢 (细胞活性: -4.6)。文献[24]研究了药物

Tyrphostin-AG-1478 对结直肠癌 HT29 细胞的生长作用，并探索了其治疗的潜力，表明该药物将抑制细胞生长并诱导其凋亡 (细胞活性: -5.0)。我们还分别针对 A549、NPC、MCF7、HT29、PC3、A375、HA1E、HELA 和 YAPC 细胞系进行了药物诱导下的细胞活性预测，说明其可能对以上细胞系具有更高的敏感性，结果如表 4 所示。

4 结论

基因组数据为开发预测药物敏感性算法提供了宝贵的资源，在本研究中，我们使用 3 个独立的样本集合，提出了一种新颖的 SAE-XGBoost 机器学习方法，通过细胞活性与药物基因组学之间的关联，采用堆栈式深度自动编码器完成了差异表达基因的信息提取，将随机游走算法引入到 XGBoost 学习中，建立模型预测数百种癌细胞中多种药物的反应。这种方法不仅可以使我们的预测模型用于预测新测得的细胞对已经测试的药物

表 4 影响细胞活性的药物

Table 4 The drugs that affect the cell viability

Cell line	A549	NPC	MCF7
Drug	Mepacrine	Vorinostat	Idasanutlin
	Teniposide	Sorafenib	Daunorubicin
	Gemcitabine	Rigosertib	Selinexor
	Topotecan	Fenretinide	Mitoxantrone
	Piperlongumine	Pirarubicin	PHA-848125
Cell line	HT29	PC3	A375
Drug	Delanzomib	Bortezomib	Delanzomib
	Panobinosta	YM-155	Oprozomib
	Ixazomib	MG-132	PHA-848125
	Trichostatin-a	BGT-226	Bruceantin
	Brotezomid	Bortezomib	Delanzomib
Cell line	HA1E	HELA	YAPC
Drug	Perhexiline	AZD-7762	Ixazomid
	BVT-948	Carfilzomib	Bortezomid
	Foretinib	MK-1775	AZD-7762
	Withaferin-a	JNJ-26481585	Delanzomid
	Teniposide	Romidepsin	Brotezomid

的反应,而且可以利用已知的基因组信息预测现有药物对癌细胞的抑制作用,结果表明,我们的模型获得了良好的效果,并在CCLE和NCI60数据集上验证了我们所提出的建模策略作为药物敏感性分析的稳健性和有效性。

然而,在临床应用中迫切需要确定癌细胞与抗癌疗法之间药物敏感和耐药联系的生物标记,因此,在未来的工作中我们仍然希望设计一种更理想的监督机器学习的算法,揭示癌细胞和药物作用之间的敏感性。由于我们的模型还受到很多因素影响,例如表观遗传和蛋白质水平信息,因此未来可以将其纳入预测模型,从而使模型更稳健,以便获得更高的准确性,为探索癌细胞在细胞水平上的生物学行为提供更多的机会。

REFERENCES

- [1] Dull AB, Wilsker D, Hollingshead M, et al. Development of a quantitative pharmacodynamic assay for apoptosis in fixed tumor tissue and its application in distinguishing cytotoxic drug-induced DNA double strand breaks from DNA double strand breaks associated with apoptosis. *Oncotarget*, 2018, 9(24): 17104-17116.
- [2] Mostaghimi H, Mehdizadeh AR, Jahanbakhsh M, et al. Quantitative determination of tumor platinum concentration of patients with advanced breast, lung, prostate, or colorectal cancers undergone platinum-based chemotherapy. *J Cancer Res Ther*, 2017, 13(6): 930-935.
- [3] Cubillos-Ruiz JR, Mohamed E, Rodriguez PC. Unfolding anti-tumor immunity: Er stress responses sculpt tolerogenic myeloid cells in cancer. *J Immunother Cancer*, 2017, 5(1): 5.
- [4] Desmedt C, Ruíz-García E, André F. Gene expression predictors in breast cancer: current status, limitations and perspectives. *Eur J Cancer*, 2008, 44(18): 2714-2720.
- [5] Yousefi MR, Datta A, Dougherty ER. Optimal intervention in markovian gene regulatory networks with random-length therapeutic response to antitumor drug. *IEEE Trans Biomed Eng*, 2013, 60(12): 3542-3552.
- [6] Gönen M, Margolin AA. Drug susceptibility prediction against a panel of drugs using kernelized bayesian multitask learning. *Bioinformatics*, 2014, 30(17): i556-i563.
- [7] Menden MP, Iorio F, Garnett M, et al. Machine learning prediction of cancer cell sensitivity to drugs based on genomic and chemical properties. *PLoS ONE*, 2013, 8(4): e61318.
- [8] Eduati F, Mangravite LM, Wang T, et al. Prediction of human population responses to toxic compounds by a collaborative competition. *Nat Biotechnol*, 2015, 33(9): 933-940.
- [9] Goswami CP, Cheng L, Alexander PS, et al. A new drug combinatory effect prediction algorithm on the cancer cell based on gene expression and dose-response curve. *CPT Pharmacometr Syst Pharmacol*, 2015, 4(2): 80-90.
- [10] Tan M, Özgül OF, Bardak B, et al. Drug response prediction by ensemble learning and drug-induced gene expression signatures. *Genomics*, 2019, 111(5): 1078-1088.
- [11] Szalai B, Subramanian V, Holland CH, et al. Signatures of cell death and proliferation in perturbation transcriptomics data—from confounding factor to effective prediction. *Nucleic Acids Res*, 2019, 47(19): 10010-10026.
- [12] Subramanian A, Narayan R, Corsello SM, et al. A next generation connectivity map: L1000 platform and the first 1 000 000 profiles. *Cell*, 2017, 171(6): 1437-1452.e.17.
- [13] Liu CL, Su J, Yang F, et al. Compound signature detection on lincs l1000 big data. *Mol Biosyst*, 2015, 11(3): 714-722.
- [14] Seashore-Ludlow B, Rees MG, Cheah JH, et al. Harnessing connectivity in a large-scale small-molecule sensitivity dataset. *Cancer Discov*, 2015, 5(11): 1210-1223.
- [15] Tsherniak A, Vazquez F, Montgomery PG, et al. Defining a cancer dependency map. *Cell*, 2017, 170(3): 564-576.e16.
- [16] Shoemaker RH. The nci60 human tumour cell line

- anticancer drug screen. *Nat Rev Cancer*, 2006, 6(10): 813-823.
- [17] Ghandi M, Huang FW, Jané-Valbuena J, et al. Next-generation characterization of the cancer cell line encyclopedia. *Nature*, 2019, 569(7757): 503-508.
- [18] Vincent P, Larochelle H, Bengio Y, et al. Extracting and composing robust features with denoising autoencoders. In *Proceedings of the 25th International Conference on Machine Learning* ACM. New York, NY, United States: ACM, 2008: 1096-1103.
- [19] Li W, Yin YB, Quan XW, et al. Gene expression value prediction based on XGBoost algorithm. *Front Genet*, 2019, 10: 1077.
- [20] Lawler GF, Limic V. *Random Walk: A Modern Introduction* (Cambridge Studies in Advanced Mathematics). Cambridge: Cambridge University Press, 2010.
- [21] Wu Q, Xu WQ, Cao LJ, et al. Saha treatment reveals the link between histone lysine acetylation and proteome in nonsmall cell lung cancer A549 cells. *J Proteome Res*, 2013, 12(9): 4064-4073.
- [22] Subramanian K, Rauniyar N, Lavalley-Adam M, et al. Quantitative analysis of the proteome response to the histone deacetylase inhibitor (hdaci) vorinostat in niemann-pick type c1 disease. *Mol Cell Proteom*, 2017, 16(11): 1938-1957.
- [23] Refaat A, Pararasa C, Arif M, et al. Bardoxolone-methyl inhibits migration and metabolism in mcf7 cells. *Free Rad Res*, 2017, 51(2): 211-221.
- [24] Partik G, Hochegger K, Schörkhuber M, et al. Inhibition of epidermal-growth-factor-receptor-dependent signalling by tyrphostins a25 and ag1478 blocks growth and induces apoptosis in colorectal tumor cells *in vitro*. *J Cancer Res Clin Oncol*, 1999, 125(7): 379-388.

(本文责编 郝丽芳)